

奥尼罗非鱼无乳链球菌的鉴定、致病性及药物敏感性研究*

谭晶晶 陈昌福** 高宇 刘振兴 王美珍 李革雷

华中农业大学水产学院, 武汉 430070

摘要 从海南省某水产养殖场患病奥尼罗非鱼(*Oreochromis aureus* × *Oreochromis niloticus*)中, 分离到1个编号为LFY-08-23的菌株。经过对分离菌株进行生理生化特性鉴定、Biolog系统鉴定以及利用原核生物16S rRNA基因通用引物进行16S rRNA基因的克隆及序列分析, 结果发现LFY-08-23菌株与无乳链球菌(*Streptococcus agalactiae*)的生理生化特性相似, 16S rRNA基因克隆及序列分析结果与*S. agalactiae* (EF092913, DQ303183, AF459432)自然构成一个分支, 相似性高达99.8%。用分离的*S. agalactiae* LFY-08-23菌株对异育银鲫和斑点叉尾鲷进行人工感染试验, 结果表明, 当注射菌浓度达到 1.0×10^9 cfu/mL时, 2种鱼全部死亡。*S. agalactiae* LFY-08-23菌株对头孢氨噻肟、丙氟哌酸、利福平等13种药物高度敏感, 对呋喃妥因、新生霉素、强力霉素等7种药物中度敏感, 对卡那霉素、链霉素、磺胺异恶唑等5种药物不敏感。

关键词 奥尼罗非鱼; 无乳链球菌; 鉴定; 系统发育分析; 人工感染; 药物敏感

中图分类号 R 378.1⁺2 **文献标识码** A **文章编号** 1000-2421(2010)06-0745-07

近年来, 随着罗非鱼养殖规模逐渐扩大, 各种传染性疾病的发生与危害也呈现上升的趋势, 尤其是链球菌病(*Streptococcosis*)的大范围流行, 对罗非鱼的养殖造成了严重威胁^[1-2]。迄今为止的研究结果证明, 导致罗非鱼链球菌病的病原菌有所不同, 但是, 主要致病菌是无乳链球菌(*Streptococcus agalactiae*)和海豚链球菌(*S. iniae*), 2种致病菌所致疾病的共同症状是病鱼出现败血症、脑脊膜炎等, 并且根据菌落、菌体形态很难辨别这2种致病菌^[3]。笔者采取菌体形态观察、生理生化鉴定及16S rRNA基因序列分析等方法, 从患病奥尼罗非鱼(*Oreochromis aureus* × *Oreochromis niloticus*)中分离、鉴定了无乳链球菌(*S. agalactiae*), 并对分离的菌株进行了人工感染和药敏试验, 旨在为有效控制奥尼罗非鱼的链球菌病提供依据。

1 材料与方 法

1.1 试 剂

脑心浸液培养基(BHI)购自美国BD公司; 血琼脂平板购自英国OXOID; Premix Taq酶、pMD-

18 T载体、DNA Marker DL2000、无DNase/RNase水购自大连宝生物(TaKaRa)公司; 胶回收试剂盒、DH5 α 感受态细胞购自北京原平皓公司; 引物fD₁(5'-AGA GTT TGA TCM TGG CTC AG-3'), rD₁(5'-TAC GGY TAC CTT GTT ACG ACT T-3')由上海生工生物工程技术有限公司测序部合成; 微量鉴定管、药敏纸片购自杭州微生物有限公司。

1.2 病鱼来源及症状观察

海南省琼海市某水产养殖场饲养的奥尼罗非鱼成鱼出现大批死亡。取该渔场发病鱼塘里濒死的奥尼罗非鱼观察并记录其症状, 剖检典型病鱼记录其内脏病理变化。

1.3 病原菌分离和纯化

选取具有典型症状的濒死病奥尼罗非鱼, 在无菌条件下从鱼体表溃疡部、鳃丝、肝脏、脾脏、肾脏、腹水中分离细菌, 同时分别在BHI(BD)血琼脂平板上划线分离细菌。将平板置于28℃培养, 待长出菌落后, 挑选优势菌株进一步纯化。

收稿日期: 2010-05-03; 修回日期: 2010-09-12

* 国家“973”项目(2009CB118700)和农业公益性行业科研专项经费项目(200803013)资助

** 通讯作者。E-mail: chenchangfu@mail.hzau.edu.cn

谭晶晶, 女, 1984年生, 硕士研究生。研究方向: 水产动物疾病。E-mail: Tanjj@webmail.hzau.edu.cn

1.4 菌株形态观察与生理生化特性鉴定

取纯化后的菌落分别接种在普通营养琼脂、BHI 平板和血琼脂平板, 28 °C 培养 24 h 后, 观察菌落特征。取 BHI 平板培养 24 h 的培养物, 革兰氏染色, Olympus CX41 型显微镜观察菌体形态。依据文献[4-5]进行生理生化特征的测定, 包括接触酶实验、运动性实验、溶血性实验、生长实验、马尿酸钠水解实验、糖发酵产酸产气实验、淀粉水解实验、吡啶实验、V-P 实验等, 对编号为 LFY-08-23 的分离菌株进行初步鉴定; 并对该菌株进行适宜生长温度、盐度、pH 值的测定。

1.5 Biolog 系统鉴定方法

将纯培养的 LFY-08-23 划线接种到 BHI 培养平板上, 28 °C 在恒温培养箱培养 24 h, 用无菌棉签蘸取一定量的单菌落细菌至无菌 IF-A 接种液中, 制成菌悬液, 利用浊度仪调整浊度范围在 92%~98% 之间, 用移液枪将菌悬液转移至 Biolog GN3 培养板中, 每孔接种菌悬液 100 μ L, 加盖 30 °C 有氧培养 24 h 后, 经 Microstation 仪自动读取细菌鉴定结果。

1.6 16S rRNA 基因序列鉴定和分析

将菌株接种在 BHI 平板中培养 24 h, 直接挑取 1 环分离菌株, 加入 200 μ L 无菌重蒸水, 旋涡混匀后, 沸水浴 3 min, 12 000 r/min 离心 5 min, 上清液作为 PCR 反应模板, ddH₂O 作为 PCR 模板阴性对照。采用 PCR 扩增 16S rRNA 引物, 其引物 fD₁ (5'-AGA GTT TGA TCM TGG CTC AG-3'), rD₁ (5'-TAC GGY TAC CTT GTT ACG ACT T-3')^[6]。PCR 反应体系 (50 μ L): 25 μ L Premix Taq, 20 mol/L 正向和反向引物各 0.5 μ L, 2 μ L 基因组 DNA, 22 μ L ddH₂O。PCR 反应条件: 95 °C 预变性 5 min; 94 °C 变性 1 min, 55 °C 退火 1 min, 72 °C 延伸 2 min, 30 个循环; 72 °C 10 min。PCR 产物按 DNA 凝胶回收试剂盒说明书回收和纯化, 将 PCR 产物连接到 pMD-18 T 载体上, 然后转化大肠杆菌 DH5 α 感受态细胞, 在含有 Amp/IPTG/X-Gal 的平板上进行蓝白斑筛选。挑取白斑, 扩大培养后将阳性菌液送上海生工生物工程技术服务有限公司测序。

1.7 系统发育树的构建

将测定菌株的 16S rRNA 基因序列在 GenBank 中进行 Blast 搜索和分析, 选用 Clustal W 法与已知的链球菌属 16S rRNA 基因序列进行同源序列分析

比对, 并用 MP (maximum parsimony, 最大简约法) 构建 11 个菌种系统发育树, 用自展法 (Bootstrap) 进行 1 000 次重复, 并用一致性指数 (consistency index, CI) 衡量分析结果的可靠性。

1.8 菌株毒力测定及其试验鱼

将 LFY-08-23 菌株在 BHI 液中 28 °C 培养 24 h, 用无菌生理盐水配制成 1.0 \times 10⁹、1.0 \times 10⁸、1.0 \times 10⁷ 和 1.0 \times 10⁶ cfu/mL 的 4 种不同浓度的活菌液。腹腔注射质量 70 g 左右的异育银鲫 (*Carassius auratus gibelio*) 和质量 100 g 左右的斑点叉尾鲷 (*Ictalurus punctatus*), 每组 10 尾, 每尾注射 0.3 mL 活菌液。对照组则注射相同剂量的 0.65% 无菌生理盐水。将试验和对照鱼饲养在水温为 28 °C 左右的水族箱中, 观察试验鱼的发病情况, 连续观察 14 d。从濒死的试验鱼的肝脏、脾脏、肾脏等部位再次分离致病菌并进行鉴定。试验鱼在攻毒前暂养 7 d, 确认无任何疾病症状后用于人工感染试验。

1.9 药物敏感实验

取 BHI 液体 28 °C 下培养 24 h 的菌液 100 μ L 涂布在 BHI 平板上, 贴上药敏纸片, 每皿 4 片, 每种药物 2 片, 经 28 °C 培养 48 h 后, 测量药敏片周围的抑菌环直径大小。

2 结果与分析

2.1 菌株形态观察

将分离菌接种在绵羊血琼脂平板上, 28 °C 培养 48 h 后, 可长成直径为 0.5~1.0 mm 的菌落, 呈乳白色、圆形、突起、湿润、边缘整齐、 β 溶血, 有溶血环出现。该菌在普通营养琼脂平板上生长不良, 而在 BHI 平板上生长良好。分离纯化后的细菌革兰氏染色阳性, 油镜下可见 2~5 个菌体互相连接并形成短链, 也有 10 个以上菌体连接形成长链状的, 单个球形菌体直径为 1.0 μ m。分离菌的适宜生长盐度为 0%~4%, 适宜生长温度为 15~40 °C。

2.2 生理生化特性检测

常规生理生化特性测定结果表明, 该菌株接触酶阴性, 无运动性, 在 10 和 45 °C 不生长, 在含有 6.5% NaCl 的培养基中不生长, β -溶血, 不水解淀粉, 水解马尿酸钠。能利用葡萄糖、草糖、麦芽糖、蔗糖、果糖等, 不能利用乳糖、棉子糖、阿拉伯糖、七叶苷、血清菊糖等, V-P 实验阴性, 吡啶实验阴性。根据上述特征, 该菌可鉴定为链球菌属 (表 1)。

表 1 LFY-08-23 菌株的主要生理生化特征¹⁾

Table 1 The main physiological and bio-chemical characteristics of the LFY-08-23 strain

| 项目 Items | LFY-08-23 | 项目 Items | LFY-08-23 |
|--------------------------------------|-----------|----------------------|-----------|
| 革兰氏染色 Gram stain | + | 霉菌 Fungi | + |
| 接触酶 Peroxidase | - | 山梨醇 Sorbitol | - |
| 运动性 Motility | - | 麦芽糖 Maltose | + |
| 溶血性 Haemolysis | β | 棉子糖 Raffinose | - |
| 45℃下生长 Growth at 45℃ | - | 葡萄糖 Dextrose | + |
| 10℃下生长 Growth at 10℃ | - | β-半乳糖 β-Galactose | - |
| 6.5% NaCl 下生长 Growth at 6.5% NaCl | - | D-核糖 D-ribose | + |
| 水解 Hydrolysis of | | 阿拉伯糖 Arabinose | - |
| 七叶苷 Esculin | - | 蔗糖 Sucrose | + |
| 精氨酸 Arginine | + | 果糖 Fructose | + |
| 尿素 Urea | - | 血清菊糖 Seruminulin | - |
| 马尿酸钠 Hippurate | + | 木糖 Xylose | - |
| 淀粉 Starch | - | 其他 Others | |
| 产酸 Acid from | | 赖氨酸 Lysine | - |
| 水杨苷 Salicin | - | VP | - |
| 甘露醇 Mannosidase | - | 吲哚 Indole | - |
| 乳糖 Lactose | - | | |

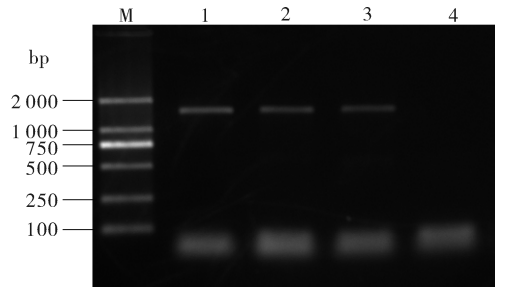
1) +: 阳性 Positive; -, 阴性 Negative.

2.3 Biolog 系统鉴定

经过 Biolog 系统鉴定, LFY-08-23 菌株对碳源的利用情况如表 2 所示。结果表明, LFY-08-23 菌株与 *S. agalactiae* (gpB) 最接近, 但是, 该方法鉴定结果的可靠性不高。其 SIM 值为 0.299, DIST 值为 4.316。SIM 和 DIS 是 2 个重要的参数, 表示测试结果与数据库相应的数据的匹配程度。当 SIM > 0.75, DIS < 5.0 时为良好的匹配; SIM 值越接近于 1, 鉴定结果的可靠性越高^[7]。

2.4 LFY-08-23 菌株的 16S rRNA 基因序列分析

通过对 LFY-08-23 菌株的基因组 DNA 进行 PCR 反应, 得到一段长度序列为 1 500 bp 的 PCR 扩增产物(图 1)。



M. DL 2000 DNA marker; 1, 2, 3. LFY-08-23; 4. Negative control.

图 1 菌株 LFY-08-23 的 PCR 扩增产物图谱

Fig. 1 Electrophoresis picture of LFY-08-23 after PCR amplification

表 2 Biolog 鉴定结果¹⁾

Table 2 Results of Biolog identification

| 反应项目 Reaction items | 结果 Results | 反应项目 Reaction items | 结果 Results |
|---|---------------|---|---------------|
| A1: 水 Water | 对照 CK | E1: p-羟基苯乙酸 p-Hydroxy phenylacetic acid | N |
| A2: 环糊精 α-Cyclodextrin | B | E2: 衣康酸 Itaconic acid | N |
| A3: 糊精 Dextrin | P | E3: α-酮丁酸 α-Keto butyric acid | N |
| A4: 淀粉 Glycogen | P | E4: α-酮戊二酸 α-Keto glutaric acid | B |
| A5: 吐温 40 Tween 40 | N | E5: α-酮戊酸 α-Keto valeric acid | N |
| A6: 吐温 80 Tween 80 | N | E6: D, L-乳酸 D, L-lactic acid | N |
| A7: N-乙酰基-D-半乳糖胺 N-acetyl-D-galactosamine | P | E7: 丙二酸 Malonic acid | N |
| A8: N-乙酰基-D-葡萄糖胺 N-acetyl-D-glucosamine | N | E8: 丙酸 Propionic acid | N |
| A9: 侧金盏花醇 Adonitol | L | E9: 奎尼酸 Quinic acid | N |
| A10: L-阿拉伯糖 L-arabinose | P | E10: D-葡糖二酸 D-saccharic acid | N |
| A11: D-阿拉伯糖 D-arabitol | P | E11: 癸二酸 Sebacic acid | N |
| A12: D-纤维二糖 D-cellobiose | N | E12: 琥珀酸 Succinic acid | N |
| B1: 赤藻糖醇 I-erythritol | N | F1: 溴丁二酸 Bromo succinic acid | P |
| B2: D-果糖 D-fructose | N | F2: 琥珀酰胺酸 Succinamic acid | N |
| B3: L-果糖 L-fucose | N | F3: 葡糖醛酰胺 Glucuronamide | N |

续表 Continued from Table 2

| 反应项目 Reaction items | 结果 Results | 反应项目 Reaction items | 结果 Results |
|--|---------------|--|---------------|
| B4: D-半乳糖 <i>D-galactose</i> | MN | F4: L-丙氨酸胺 <i>L-alaninamide</i> | N |
| B5: 龙胆二糖 <i>Gentiobiose</i> | P | F5: D-丙氨酸 <i>D-alanine</i> | N |
| B6: α -D-葡萄糖 α - <i>D-glucose</i> | P | F6: L-丙氨酸 <i>L-alanine</i> | N |
| B7: m-肌醇 <i>m-Inositol</i> | P | F7: L-丙氨酰甘氨酸 <i>L-alanyl-glycine</i> | N |
| B8: α -D-乳糖 α - <i>D-lactose</i> | N | F8: L-天冬酰胺酸 <i>L-asparagine</i> | N |
| B9: 乳果糖 <i>Lactulose</i> | N | F9: L-天门冬氨酸 <i>L-aspartic acid</i> | N |
| B10: 麦芽糖 <i>Maltose</i> | B | F10: L-谷氨酸 <i>L-glutamic acid</i> | N |
| B11: D-甘露醇 <i>D-mannitol</i> | N | F11: 甘氨酸-L-天门冬氨酸 <i>Glycyl-L-aspartic acid</i> | N |
| B12: D-甘露糖 <i>D-mannose</i> | N | F12: 甘氨酸-L-谷氨酸 <i>Glycyl-L-glutamic acid</i> | B |
| C1: D-蜜二糖 <i>D-melibiose</i> | P | G1: L-组氨酸 <i>L-histidine</i> | N |
| C2: β -甲基-D-葡萄糖苷 β -methyl- <i>D-glucoside</i> | P | G2: 羟基-L-脯氨酸 <i>Hydroxy-L-proline</i> | L |
| C3: 阿洛酮糖 <i>D-psicose</i> | P | G3: L-亮氨酸 <i>L-leucine</i> | N |
| C4: D-棉子糖 <i>D-raffinose</i> | P | G4: L-鸟氨酸 <i>L-ornithine</i> | N |
| C5: L-棉子糖 <i>L-rhamnose</i> | P | G5: L-苯丙氨酸 <i>L-phenylalanine</i> | L |
| C6: D-山梨醇 <i>D-sorbitol</i> | N | G6: L-脯氨酸 <i>L-proline</i> | N |
| C7: 蔗糖 <i>Sucrose</i> | N | G7: L-焦谷氨酸 <i>L-pyroglutamic acid</i> | N |
| C8: D-海藻糖 <i>D-trehalose</i> | N | G8: D-丝氨酸 <i>D-serine</i> | P |
| C9: 松二糖 <i>Turanose</i> | P | G9: L-丝氨酸 <i>L-serine</i> | N |
| C10: 木糖醇 <i>Xylitol</i> | P | G10: L-苏氨酸 <i>L-threonine</i> | P |
| C11: 甲基丙酮酸 <i>Methyl pyruvate</i> | N | G11: D, L-肉碱 <i>D, L-carnitine</i> | N |
| C12: 单甲基琥珀酸 <i>Mono methyl succinate</i> | N | G12: γ -氨基丁酸 γ -amino butyric acid | P |
| D1: 乙酸 <i>Acetic acid</i> | N | H1: 尿刊酸 <i>Urocanic acid</i> | N |
| D2: 顺-乌头酸 <i>Cis-aconitic acid</i> | L | H2: 肌苷 <i>Inosine</i> | N |
| D3: 柠檬酸 <i>Citric acid</i> | N | H3: 尿苷 <i>Uridine</i> | N |
| D4: 甲酸 <i>Formic acid</i> | N | H4: 胸腺嘧啶核苷 <i>Thymidine</i> | N |
| D5: D-乳糖酸内酯 <i>D-galactonic acid lactone</i> | P | H5: 苯乙胺 <i>Phenylethylamine</i> | P |
| D6: D-半乳糖醛酸 <i>D-galacturonic acid</i> | B | H6: 丁二胺 <i>Putrescine</i> | B |
| D7: D-葡萄糖酸 <i>D-gluconic acid</i> | P | H7: 2-氨基乙醇 <i>2-aminoethanol</i> | N |
| D8: D-葡萄糖胺酸 <i>D-glucosaminic acid</i> | N | H8: 2,3-丁二醇 <i>2,3-butanediol</i> | N |
| D9: D-葡萄糖酸 <i>D-glucuronic acid</i> | L | H9: 丙三醇 <i>Glycerol</i> | N |
| D10: α -羟基丁酸 α -hydroxy butyric acid | B | H10: D, L- α -磷酸甘油 <i>D, L-α-glycerol phosphate</i> | B |
| D11: β -羟基丁酸 β -hydroxy butyric acid | B | H11: 1-磷酸葡萄糖 <i>Glucose-1-phosphate</i> | P |
| D12: γ -羟基丁酸 γ -hydroxy butyric acid | B | H12: 6-磷酸葡萄糖 <i>Glucose-6-phosphate</i> | N |

1)P:阳性 Positive; N:阴性 Negative; MP:正失配 Mismatched pos; MN:负失配 Mismatched neg; B:临界值 Bordline; L:少于对照组 A1 Less than A1 well.

将 LFY-08-23 菌株的 16S rRNA 基因序列提交到 GenBank, 在 GenBank 中进行 BLAST 搜索并根据 LFY-08-23 菌株的 16S rRNA 序列与已报道的链球菌属的 16S rRNA 基因序列进行比较分析, 并构建系统发育树(图 2)。从图 2 可以看出, 菌株 LFY-08-23 与 *S. agalactiae*(EF092913, DQ303183, AF459432)自然构成一个分支, 相似性高达 99.8%, 说明 LFY-08-23 菌株与 *S. agalactiae* 亲缘关系最近。

2.5 分离菌株的致病力

LFY-08-23 菌株对异育银鲫和斑点叉尾鲷的感染结果见表 3。由表 3 可见, 分离菌株对 2 种鱼均有比较强的致病力。注射菌液浓度为 1.0×10^9 cfu/mL 的活菌后, 分别于第 2 天和第 3 天供试鱼就全部死亡, 死亡前 2 种鱼均出现不安、狂游的状况。但是, 鱼体却没有出现腹部出血、眼球突出等典型症状。其他试验组和对照组在观察 14 d 的时间里, 无死鱼出现, 也无明显疾病症状。从感染后死鱼的肝

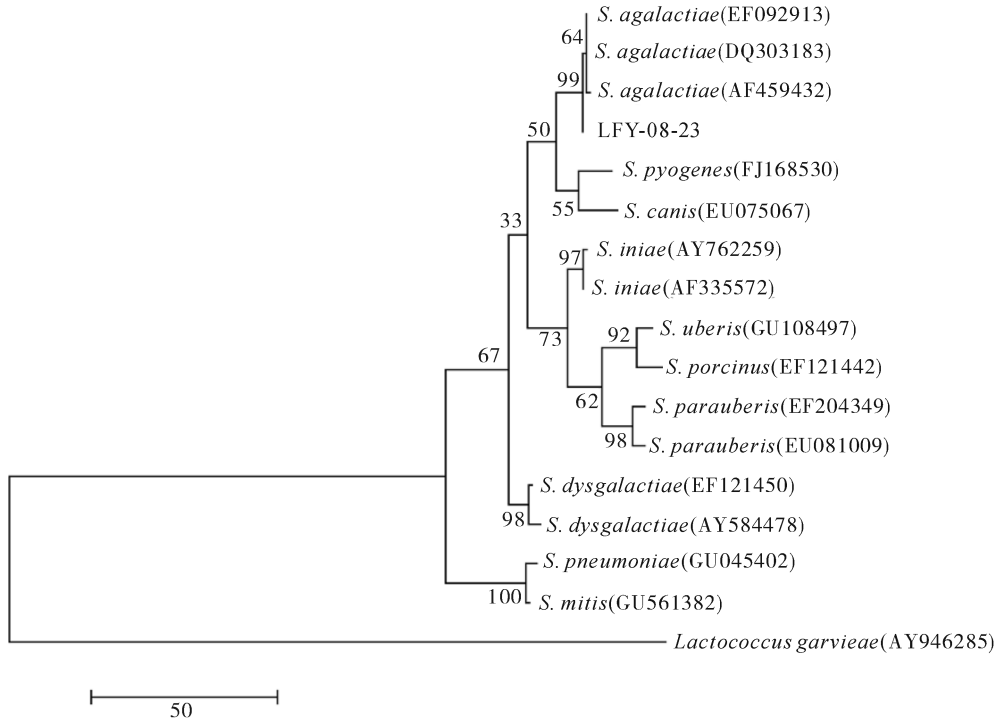


图 2 基于 16S rRNA 序列的系统发育树

Fig. 2 Phylogenetic tree based on 16S ribosomal RNA sequences

表 3 人工感染试验结果

Table 3 Results of artificial infection experiment

| 试验鱼 Fish | 菌液浓度/(cfu/mL) Concentration | 剂量/mL Injected volume | 试验组/尾 Test group | 不同时间的死亡数 No. of death at different time | | | | | | | 死亡率/% Mortality |
|--|--------------------------------|--------------------------|---------------------|--|-----|-----|-----|-----|-----|------|--------------------|
| | | | | 1 d | 2 d | 3 d | 4 d | 6 d | 8 d | 14 d | |
| 异育银鲫 <i>Carassius auratus gibelio</i> | 1.0×10^6 | 0.2 | 10 | 0 | 0 | 0 | 0 | 0 | 0 | 0 | 0 |
| | 1.0×10^7 | 0.2 | 10 | 0 | 0 | 0 | 0 | 0 | 0 | 0 | 0 |
| | 1.0×10^8 | 0.2 | 10 | 0 | 0 | 0 | 0 | 0 | 0 | 0 | 0 |
| | 1.0×10^9 | 0.2 | 10 | 0 | 10 | 0 | 0 | 0 | 0 | 0 | 100 |
| | 生理盐水 Physiological saline | 0.2 | 10 | 0 | 0 | 0 | 0 | 0 | 0 | 0 | 0 |
| 斑点叉尾鲴 <i>Ictalurus punctatus</i> | 1.0×10^6 | 0.3 | 10 | 0 | 0 | 0 | 0 | 0 | 0 | 0 | 0 |
| | 1.0×10^7 | 0.3 | 10 | 0 | 0 | 0 | 0 | 0 | 0 | 0 | 0 |
| | 1.0×10^8 | 0.3 | 10 | 0 | 0 | 0 | 0 | 0 | 0 | 0 | 0 |
| | 1.0×10^9 | 0.3 | 10 | 0 | 0 | 10 | 0 | 0 | 0 | 0 | 100 |
| | 生理盐水 Physiological saline | 0.3 | 10 | 0 | 0 | 0 | 0 | 0 | 0 | 0 | 0 |

脏、脾脏和肾脏中分离得到的 JY-12-02 和 BD-04-12 菌株与原感染菌形态、生化特征完全相同,说明供试鱼死亡是由于人工攻毒所引起的。

2.6 分离菌株的药物敏感性

LFY-08-23 菌株对 26 种药物的敏感性测定结果如表 4 所示。供试菌株对头孢氨噻肟、丙氟哌酸、

利福平、氧氟沙星、先锋必、头孢唑啉、头孢拉定、头孢呋肟、洁霉素、红霉素、青霉素、阿莫西林、左氟沙星等 14 种药物高度敏感;而对呋喃妥因、新生霉素、强力霉素、四环素、万古霉素、麦迪霉素、氟苯尼考等 7 种药物敏感;对卡那霉素、链霉素、庆大霉素、磺胺异恶唑、复方新诺明等 5 种药物不敏感。

表 4 LFY-08-23 菌株对药物敏感性的试验结果

Table 4 Antibiotic susceptibility test of LFY-08-23 strain

| 抗菌药物 Chemotherapeutants | 每片含药量 Each drug content/ μg | 抑菌圈直径 Diameter/mm | 抗菌药物 Chemotherapeutants | 每片含药量 Each drug content/ μg | 抑菌圈直径 Diameter/mm |
|----------------------------|---|----------------------|----------------------------|---|----------------------|
| 呋喃妥因 Nitrofurantoin | 300 | 21 | 麦迪霉素 Medemycin | 30 | 20 |
| 头孢氨噻肟 Cefotaxime | 30 | 31 | 氧氟沙星 Ofloxacin | 5 | 26 |
| 卡那霉素 Kanamycin | 30 | 9 | 氟苯尼考 Florfenicol | 75 | 24 |
| 丙氟哌酸 Ciprofloracin | 5 | 20 | 红霉素 Erythromycin | 15 | 26 |
| 新生霉素 Albamycin | 30 | 21 | 青霉素 Penicillin | 10 | 28 |
| 强力霉素 Doxycycline | 30 | 22 | 头孢拉啶 Cefazolin | 30 | 26 |
| 四环素 Tetracycline | 30 | 19 | 阿莫西林 Amoxicillin | 10 | 35 |
| 万古霉素 Vancomycin | 30 | 18 | 磺胺异恶唑 Gantrisin | 300 | 6 |
| 利福平 Rifampicin | 5 | 25 | 左氟沙星 Levofloxacin | 5 | 24 |
| 链霉素 Streptomycin | 25 | 8 | 头孢呋肟 Zinacef | 30 | 30 |
| 庆大霉素 Gentamicin | 10 | 10 | 复方新诺明 Cotrimoxazole | 30 | 8 |
| 先锋必 Cefobid | 75 | 35 | 头孢唑啉 Ampicillin | 30 | 36 |
| 洁霉素 Jiemycin | 2 | 28 | 头孢氨苄 Cephalexin | 10 | 28 |

3 讨论

S. agalactiae 和 *S. inae* 是引起鱼类链球菌病的 2 个主要病原^[8-9], 由于菌株经常出现表型表达不稳定, 传统的细菌鉴定方法很难将它们区分开来, 为确保鉴定结果的可靠性, 本研究采用生理生化和分子鉴定结合的方法, 最终将其确定为 *S. agalactiae*。同时尝试用 Biolog 系统对其进行鉴定, 其结果与 *S. agalactiae* 最为接近, 但是可信度不高, 只能作为一种参考, 这可能是因为缺少鉴定为无乳链球菌的主要碳源利用项目。虽然 16S rRNA 系统发育分析已成为目前细菌分类和鉴定的重要手段之一, 但是截止到 1996 年只测定了 3 500 余种细菌的完整 16S rRNA 序列, 若没有生化鉴定结果作为佐证, 便可能无法得出正确的结论^[10]。

本研究通过形态学、生理生化试验和 Biolog 系统将从患病奥尼罗非鱼中分离的 LFY-08-23 菌株初步鉴定为链球菌属的 *S. agalactiae*, 为进一步验证, 利用了 16S rRNA 系统发育分析方法, 通过测定比较后发现 LFY-08-23 菌株在系统发育树上与 *S. agalactiae* 聚为一簇, 并与 *S. agalactiae* (EF092913, DQ303183, AF459432) 同源性最高, 达到 99.8%, 因此, 将 LFY-08-23 菌株鉴定为 *S. agalactiae* 的结果应该是可靠的。

可感染链球菌病的鱼类很多^[11-14], 本文选取异育银鲫和斑点叉尾鲷作为测定分离菌株致病力的供试鱼^[12], 旨在确定本次分离菌株是否具有致病力, 结果表明只有菌液浓度均达到 1.0×10^9 cfu/mL, 并且对每尾鱼注射 0.3 mL 才具有致病力, 是否因为 *S. agalactiae* 经过一段时间保存之后毒力有所

下降^[15], 还是因为不同的鱼类对 *S. agalactiae* 的敏感程度有所不同, 有待深入研究。因为感染后供试鱼呈现急性暴发性死亡, 且死亡之前狂游不止, 却并未发现突眼、眼膜浑浊, 腹部出血等鱼类链球菌病的典型症状^[16-18]。

近年来, 南方部分地区人工养殖奥尼罗非鱼产业发展十分迅速, 由于大多实施高密度养殖、天然饲料缺乏以及水环境恶化等原因, 奥尼罗非鱼的链球菌病问题不断发生, 已经造成了重大的经济损失, 也严重制约了罗非鱼养殖业的健康发展。有关链球菌病的治疗主要还是抗生素防治的手段, 但是, 依靠药物防治疾病会使病原体产生耐药性, 不利于水产养殖业的健康发展, 因此, 开展免疫防治技术研究将成为今后研究罗非鱼链球菌病的热点^[19]。

S. agalactiae 是牛乳房炎的常见病原菌^[20], 同时也可以感染人类^[21]。目前, 人兽共患病原已引起了国内外学者的重视, 并成为公共卫生防御的国际研究热点。因此, 对于 *S. agalactiae* 尚有进一步深入研究的必要。

参 考 文 献

- [1] 柴家前, 丁巧玲, 王振龙, 等. 罗非鱼链球菌的分离鉴定[J]. 中国预防兽医学报, 2002, 24(1): 18-20.
- [2] 张新艳, 樊海平, 钟全福, 等. 罗非鱼无乳链球菌的分离、鉴定及致病性研究[J]. 水产学报, 2008, 32(5): 772-778.
- [3] WEINSTEINE M R, LITT M, KERTESZ D A, et al. Invasive infections due to a fish pathogen, *Streptococcus inae* [J]. Engl J Med, 1997, 337: 589-594.
- [4] HOLT J G, KRIEG N B, SNEATH P H A, et al. Bergey's manual of determinative bacteriology [M]. 9th ed. Baltimore:

- Williams & Wilkins, 1994.
- [5] 东秀珠, 蔡妙英. 常见细菌系统鉴定手册[M]. 北京: 科学出版社, 2001: 259-266.
- [6] WILIAM G W, SUSAN M B, DALE A P, et al. 16S ribosomal DNA amplification for phylogenetic study [J]. J Bacteriol, 1991, 173(2): 697-703.
- [7] 李运, 盛慧, 赵荣华. Biolog 微生物鉴定系统在菌种鉴定中的应用[J]. 酿酒科技, 2005(7): 84-85.
- [8] MIAN G F, GODOY D T, LEAL C A G, et al. Aspects of the natural history and virulence of *S. agalactiae* infection in Nile tilapia[J]. Vet Microbiol, 2009, 136: 180-183.
- [9] FEGRUSON H W, MORALES J A, OSTLAND V E. Streptococcosis in aquarium fish [J]. Dis Aquat Org, 1994, 19(1): 1-6.
- [10] SALLEN B, RAJOHARION A, DESVARENNE S. Comparative analysis of 16S and 23S rRNA sequences of listeria species [J]. Jut J Sys Bacterilo, 1996, 46(3): 669-674.
- [11] ROY P E Y, RUTH F F. Streptococcal infections of fish[J]. Circular, 2006, 57: 1-6.
- [12] 余晓丽, 陈明, 李超, 等. 斑点叉尾鮰暴发性海豚链球菌病的研究[J]. 大连水产学院学报, 2008, 23(3): 185-191.
- [13] 沈智华, 钱冬, 许文军, 等. 红拟石首鱼海豚链球菌分离、鉴定及致病性研究[J]. 水生生物学报, 2005, 29(6): 678-683.
- [14] 周素明, 李安兴, 马跃, 等. 养殖鱼类链球菌病原的分离鉴定及其 16S rDNA 分析[J]. 中山大学学报: 自然科学版, 2007, 46(2): 68-71.
- [15] 尤敏, 管福来, 王萍, 等. 医学微生物教学用菌种保存方法的比较[J]. 潍坊医学院学报, 2004, 26(1): 27-28.
- [16] 张生, 曾中良, 王凡, 等. 暖水鱼类链球菌病研究概况[J]. 水产科技, 2007(2): 1-6.
- [17] 刘堂水, 樊海平, 陈昌福. 罗非鱼突眼病细菌性病原的分离与鉴定[J]. 华中农业大学学报, 2007, 26(4): 538-541.
- [18] NAJIAH M, LEE S W, NADIRAH M, et al. Streptococcosis in red hybrid tilapia commercial farms in Malaysia [J]. Aquac Res, 2009, 40: 630-632.
- [19] 汪成竹, 陈昌福. 免疫多糖对受免草鱼免疫应答的调节作用[J]. 华中农业大学学报, 2008, 27(4): 495-499.
- [20] 王冬梅, 刘磊, 王胜利. 奶牛乳房炎病原菌的分离鉴定及药敏试验[J]. 动物医学进展, 2005, 26(6): 81-83, 94.
- [21] PEREIRA U P, MIAN G F, OLIVEIRA I C M, et al. Genotyping of *Streptococcus agalactiae* strains isolated from fish, human and cattle and their virulence potential in Nile tilapia [J]. Vet Microbiol, 2010, 140: 186-192.

Identification, Pathogenicity and Drug Sensitivity of *Streptococcus agalactiae* from Hybrid Tilapia, *Oreochromis niloticus* × *Oreochromis aureus*

TAN Jing-jing CHEN Chang-fu GAO Yu LIU Zhen-xing WANG Mei-zhen LI Ge-lei
College of Fisheries, Huazhong Agricultural University, Wuhan 430070, China

Abstract The dominant bacterial strain, designated as LFY-08-23, was isolated from the diseased hybrid tilapia, *Oreochromis niloticus* × *Oreochromis aureus* in Hainan Province. The biochemical and physiological characteristics of the isolates were studied by using conventional method and Biolog System. The test showed that the isolates were Gram-positive cocci arranging in chains, catalase negative, β-haemolytic on 5% sheep blood agar and serogroup B. According to their 16S rRNA gene sequence and molecular phylogenetic dendrogram, the strain LFY-08-23 was most close to *Streptococcus agalactiae* with a similarity of 99.8%. The virulent test was carried out by using the pure culture of the bacteria artificially infected *Ictalurus punctatus* and *Carassius auratus gibelio*. The two species of experimental fish all died at bacterial concentration of 1.0×10^9 cfu/mL. The morphological and biochemical characteristics of the re-isolated bacteria from the artificially infected diseased fish were the same as those of the original infected bacteria. The susceptibility test to antibiotics demonstrated that the isolate strain LFY-08-23 was sensitive to most of the tested antibiotics, especially highly sensitive to 13 kinds of antibiotics, such as Cefotaxime, Ciprofloracin, Rifampicin, and resistant to 5 antibiotics, such as Kanamycin, Streptomycin, Gantrisin.

Key words hybrid tilapia (*Oreochromis niloticus* × *Oreochromis aureus*); *Streptococcus agalactiae*; identification; phylogenetic analysis; artificial infection; chemotherapeutant sensitivity

(责任编辑:边书京)